

张恒, 李廷栋, 高林志, 等. 江南造山带东段赣东北广丰地区翁家岭组凝灰岩 SHRIMP 锆石 U-Pb 年龄及地质意义[J]. 中国地质, 2015, 42(1): 96-104.

Zhang Heng, Li Tingdong, Gao Linzhi, et al. Zircon SHRIMP U-Th-Pb dating of the Wengjialing Formation in the eastern segment of the Jiangnan orogenic belt in northeast Jiangxi Province and its geological implications[J]. Geology in China, 2015, 42(1): 96-104(in Chinese with English abstract).

## 江南造山带东段赣东北广丰地区翁家岭组凝灰岩 SHRIMP 锆石 U-Pb 年龄及地质意义

张 恒 李廷栋 高林志 耿树方 丁孝忠 刘燕学 吴 昊

(中国地质科学院地质研究所, 北京 100037)

**摘要:** 本文通过对赣东北广丰地区翁家岭组凝灰岩样品中的锆石进行研究, 首次测得了翁家岭组凝灰岩 SHRIMP 锆石 U-Pb 年龄 ( $841.2 \pm 5.1$ ) Ma, 约束了翁家岭组形成的时代, 明确该套沉积岩为田里片岩之上、桃源组(上墅组)之下的一套地层。根据最新获得的大量高精度年龄数据, 确定翁家岭组在层位上与梵净山群、四堡群、冷家溪群、双桥山群相当; 覆于翁家岭组之上的桃源组是与侵入到梵净山群、四堡群、冷家溪群、双桥山群的火山侵入岩以及浦江地区“平水群”、江山市“章村组”同时期的火山侵入或喷出产物。江南造山带自西向东在 830 Ma 期间曾广泛发育一期岩浆活动事件。

**关键词:** 江南造山带; 翁家岭组; 凝灰岩; SHRIMP 锆石 U-Pb 定年

中图分类号: P597.3; P534.3 文献标志码: A 文章编号: 1000-3657(2015)01-0096-09

## Zircon SHRIMP U-Th-Pb dating of the Wengjialing Formation in the eastern segment of the Jiangnan orogenic belt in northeast Jiangxi Province and its geological implications

ZHANG Heng, LI Ting-dong, GAO Lin-zhi, GENG Shu-fang,  
DING Xiao-zhong, LIU Yan-xue, WU Hao

(Institute of Geology, Chinese Academy of Geological Sciences, Beijing 100037, China)

**Abstract:** Zircon dating of tuff bedding from the Wengjialing Formation in the east segment of the Jiangnan orogenic belt within northeast Jiangxi Province is reported for the first time in this paper ( $841.2 \pm 5.1$  Ma), which constrains the age of the Wengjialing Formation, suggesting that it lies above Tianli schist and beneath the Taoyuan Formation. In combination with a large number of high precision ages obtained for the Jiangnan orogenic belt recently, the authors hold that the Wengjialing Formation corresponds to the Fanjingshan Group, the Sibao Group, the Lengjiaxi Group, and the Shuangqiaoshan Group. The Taoyuan Group overlying the Wengjialing Formation was formed in the same period as the volcanic rocks which intruded into the Fanjingshan Group, the Sibao

收稿日期: 2014-09-24; 改稿日期: 2014-11-02

基金项目: 中国地质调查局工作项目(121201011120131)和全国油气基础地质研究与编图项目(2011ZX05043-005)联合资助。

作者简介: 张恒, 男, 1985年生, 博士生, 从事前寒武纪沉积和大地构造学的相关学习和研究; E-mail: heng0520@126.com。

Group, the Lengjiayi Group, and the Shuangqiaoshan Group, and also occurred simultaneously with the "Pingshui Group" in Pujiang City, Zhejiang Province, and the "Zhangcun Formation" in Jiangshan City, Zhejiang Province. At 830 Ma, a magma event was widely developed from west to east in the Jiangnan orogenic belt.

**Key words:** Jiangnan orogenic belt; Wengjialing Formation; tuff; SHRIMP zircon U-Pb dating

**About the first author:** ZHANG Heng, male, born in 1985, doctor candidate, majors in the study of Precambrian sedimentation and geotectonics; E-mail: heng0520@126.com.

## 1 前言

江南造山带作为扬子陆块和华夏陆块的拼接带,经历多期构造活动影响,构造和地层组合复杂,尤其是江南造山带东段赣东北的怀玉地区。其横跨扬子陆块和华夏陆块两个大地构造单元,位于江山—绍兴断裂带的北侧,属于两大陆块的聚合构造带部位,对于认识扬子陆块和华夏陆块的拼接和演化的过程具有重要的研究意义,因此众多地质工作者从构造分区、地层时代、构造演化等不同方面对其进行了深入的研究<sup>[1-14]</sup>。怀玉地层区<sup>[9]</sup>赣东北广丰地区发育田里片岩、翁家岭组、桃源组(现上墅组)等前寒武纪地层,其中田里片岩和桃源组研究较深,其地层时代和构造意义得到了确定<sup>[12,15-16]</sup>,但翁家岭组却缺乏精确的年代数据,而对于广丰地区翁家岭组地层时代的厘定直接关系到对华夏陆块和扬子陆块俯冲碰撞以及江南造山带演化过程的认识,是查明华南地区前寒武纪构造演化的重要组成部分,具有重要的意义。本文通过高精度SHRIMP锆石U-Pb定年首次厘定了翁家岭组的地层时代,进而完善了怀玉地层区地层时代的标定。

## 2 地层背景

翁家岭组标准剖面位于江西广丰县下溪镇(现为西坊乡)翁岭村,为赣东北地质队于1977年区域地质调查时所创立,与下伏前震旦系田里片岩呈角度不整合接触,与上覆桃源组呈假整合接触。1:20万上饶幅区域地质调查报告<sup>①</sup>将翁家岭组统归为震旦系漆工群,《江西省区域地质志》<sup>[17]</sup>将翁家岭组划归震旦系志棠组,《江西省岩石地层单元汇编及应用研究》<sup>②</sup>采用了翁家岭组的地层名称。管太阳等<sup>[18]</sup>同样将翁家岭

组视为田里组之上、桃源组之下的一套地层,认为其时代为青白口系。胡世玲等<sup>[19]</sup>、郝杰等<sup>[20]</sup>在研究田里片岩时都沿用了翁家岭组这一名称,并认为其为晋宁造山期的磨拉石建造。樊光明等<sup>[21]</sup>通过微古化石和地球化学数据分析认为翁家岭组为一套角度不整合于田里岩组和上墅组之上的地层,不仅否定了原意上的翁家岭组,而且还提出了该地层应为罗村组的新认识。江西省地质调查院完成的1:25万上饶市幅区域地质调查报告<sup>③</sup>仍将翁家岭组视为田里组之上、桃源组(上墅组)之下的一套地层(表1)。

翁家岭组是一套紫红、黄绿色粉砂岩、粉砂质泥岩,仅见于广丰县翁岭村翁家岭一带(图1)。与下伏田里片岩呈角度不整合接触,其上覆地层分为3个组<sup>[9]</sup>:以粗面玄武岩、流纹质火山角砾岩、凝灰岩为主的桃源组(上墅组);泥岩、粉砂质泥岩、中部夹浅紫色灰岩瘤及底部以紫红色砾岩为主的罗村组;砾岩、杂砂岩夹粉砂岩、黄绿色粉砂质泥岩、页岩为主的听门组。关于广丰地区前寒武纪地层的时代,Li等<sup>[15]</sup>认为田里片岩的沉积年限为1.5~1.04 Ga,绿片岩化变质时间在1.04~1.02 Ga和0.97~0.94 Ga;Li等<sup>[22]</sup>获得了桃源组的地层时代为0.83 Ga。Wang等<sup>[23]</sup>在桃源组火山岩锆石中获得了820 Ma的SHRIMP U-Pb年龄。本文将给出翁家岭组中凝灰岩高精度的SHRIMP锆石U-Pb年龄,一方面限制了地层时代,对翁家岭组在广丰地层区地层柱中的位置做了标定;另一方面,为江南造山带沉积和构造演化的对比提供了新的数据。

## 3 岩相学及采样层位

翁家岭组为紫红色、黄绿色砾岩、砂砾岩、粉砂岩、千枚状页岩、硅质板岩,上部含泥质白云岩、灰

①江西省地矿局区域地质调查大队. 1:20万上饶幅区域地质调查报告. 1984.

②江西地矿局. 江西省岩石地层单元汇编及应用研究. 1991.

③江西省地质调查院. 1:25万上饶市幅区域地质调查报告. 2002.

表1 翁家岭组地层认识过程(据文献[21]修改)

Table 1 Corresponding classification of the Wengjialing Formation (after reference [21])

层位	赣东北队 (1977)		江西省地矿局 (1984)		江西省地矿局 (1991)		江西省地矿局 (1994)		樊光明等 (1999)		江西省地质 调查院 (2002)		本文					
新元古界	震旦系	听门组	震旦系	志堂组	震旦系	听门砂砾岩	震旦系	听门组	震旦系	震旦系	听门组	南华系	听门组	南华系				
	青白口系	罗村组		上墅群	青白口系	罗村组		罗村组	青白口系	罗村组	上墅群	青白口系	罗村组	青白口系	罗村组	青白口系		
		桃源组				桃源火山岩		桃源组		桃源组			上墅群		上墅群		上墅组	上墅组
		翁家岭组				翁家岭组		翁家岭组		翁家岭组			上墅群		上墅组		翁家岭组	翁家岭组
中元古界	蓟县系	田里组	双桥山群 (田里岩组)	田里组	田里岩组	田里岩组	田里岩组	田里岩组	田里岩组	田里岩组	田里岩组	田里岩组	田里岩组	田里岩组				

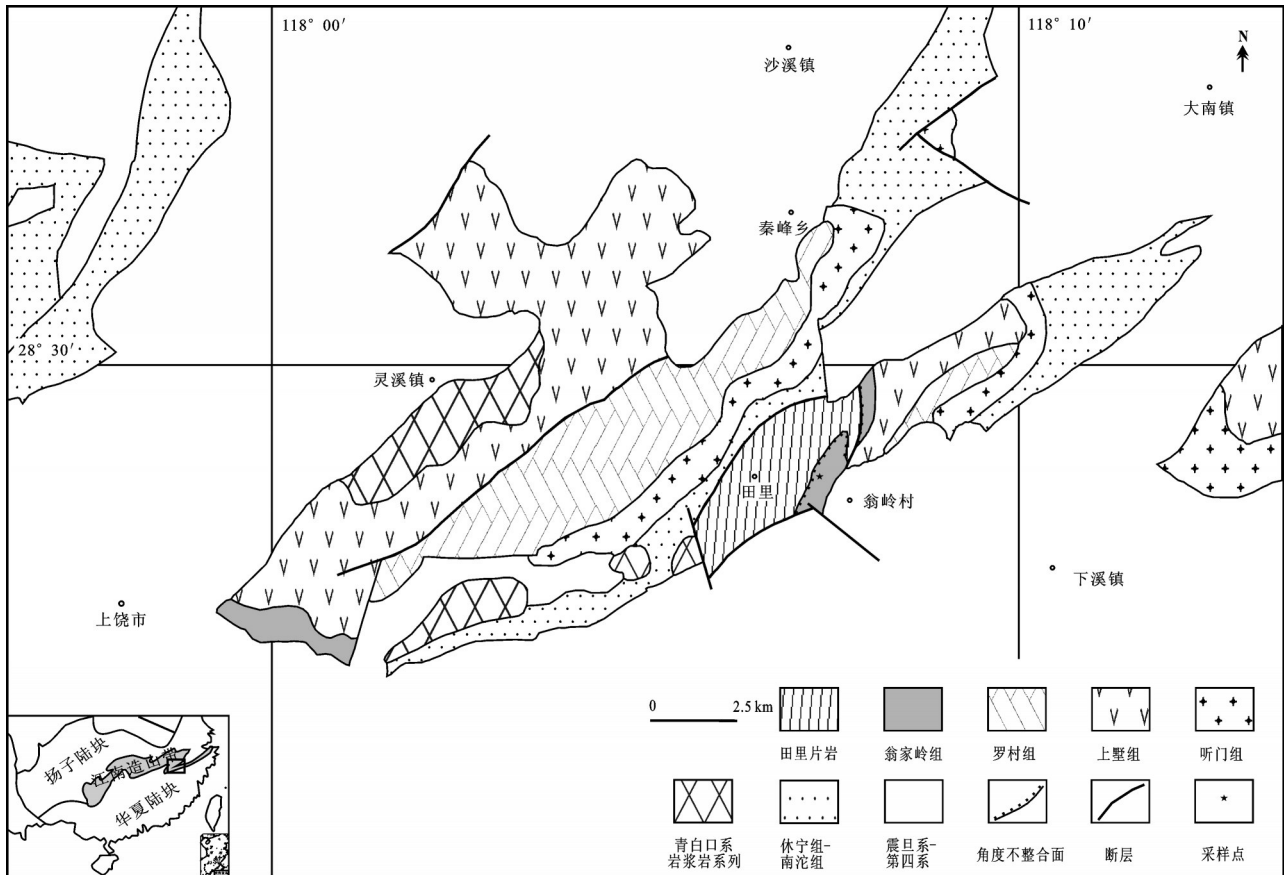


图1 研究区区域地质简图及采样位置

Fig.1 Simplified geological map of the study area, showing sampling sites

岩透镜体,底部含有大量的粗安岩砾石,以角度不整合覆于田里片岩之上。采样位置位于标准剖面江西广丰县下溪乡翁岭村,地理坐标:N28°28'02", E118°08'36.6"。采样层位为一套粉砂岩中所夹凝灰岩。镜下观察为凝灰结构、纹层状构造。岩石由玻屑、火山尘组成。玻屑主呈弧面棱角状、Y形、鸡骨状等,与火山尘混杂分布,已脱玻为隐晶状长英质并具轻微粘土化等呈假像,部分玻屑具褐铁矿化,玻屑边界多较清楚。岩石因玻屑、火山尘相对富集差异分布显纹层状构造。岩石后期被碳酸盐、石英、钠长石、绿泥石、褐铁矿等呈网脉状交代较明显(图2)。

#### 4 分析方法

锆石的分离在河北廊坊区域地质调查所实验室进行,锆石的阴极发光图像在北京离子探针中心 HITACHI S-3000N 扫描电镜上完成的,锆石 U-Pb 年龄测定在北京离子探针中心的 SHRIMP-II 上进行,详细的分析流程参考 Lance<sup>[24-25]</sup>。年龄测定时仪器质量分辨率约为 5000 (1%峰高),一次离子流  $O^{-2}$  强度为 4 nA。一次离子流束斑直径为 25~30  $\mu\text{m}$ ,每个数据点测定由 5 次扫描构成。测定质量峰为  $^{90}\text{Zr}^{16}\text{O}^{+}$ 、 $^{204}\text{Pb}^{+}$ 、背景值、 $^{206}\text{Pb}^{+}$ 、 $^{207}\text{Pb}^{+}$ 、 $^{208}\text{Pb}^{+}$ 、 $^{238}\text{U}^{+}$ 、 $(^{232}\text{Th}^{16}\text{O})^{+}$  和  $(^{238}\text{U}^{16}\text{O})^{+}$ 。分别采用标准锆石 TEM 和

M257 进行元素间的分馏校正及 U 含量标定;其中 TEM 具有 U-Pb 谐和年龄,其  $^{206}\text{Pb}/^{238}\text{U}$  年龄为  $(416.8\pm 1.1)\text{Ma}$ ,但 U、Th 及 Pb 含量不均一;标准锆石 M257 的  $^{206}\text{Pb}/^{238}\text{U}$  年龄为 840 Ma。原始数据的处理和锆石 U-Pb 谐和图的绘制采用 Ludwig 博士编写的 Squid 和 Isoplot 程序<sup>[26]</sup>。普通铅校正根据实测的  $^{204}\text{Pb}$  进行,普通铅的组成根据 Stacey 给出的模式计算得到<sup>[27]</sup>。表 2 中年龄的误差为  $1\sigma$  绝对误差,同位素比值的误差为  $1\sigma$  相对误差;文中所使用  $^{206}\text{Pb}/^{238}\text{U}$  年龄加权平均值为 95% 的置信度。

#### 5 分析结果

锆石的阴极发光图像(CL)特征(图3):所采锆石虽形态不尽相同,但是均显示出典型的岩浆生长振荡环带和韵律结构,属于岩浆结晶的产物。靶台上锆石样品在锆石的 CL 图像显示下,对照可见光下的特征进行选择,排除裂隙发育和较多包裹体的锆石颗粒。全部样品的锆石晶型完好,为浅黄色-无色透明钝圆形或柱状的晶体。锆石粒度多在 100~200  $\mu\text{m}$ 。

锆石的 U、Th 含量及 Th/U 比值:翁家岭组凝灰岩样品(WJL130318-3)共测试了 21 个数据点,其中 U 含量变化范围为  $93\times 10^{-6}\sim 299\times 10^{-6}$ ;Th 含量变化范围为  $78\times 10^{-6}\sim 385\times 10^{-6}$ ;Th/U 值变化范围为 0.68~1.76



图2 翁家岭组凝灰岩的野外露头及镜下特征

Fig.2 Photographs of the outcrop and microscopic characteristics of tuff from the Wengjialing Formation

表2 翁家岭组样品 WJL130318-3 锆石 SHRIMP U-Th-Pb 同位素测定结果

Table 2 SHRIMP U-Th-Pb isotopic compositions of tuff (WJL130318-3) for zircons from the Wengjialing Formation

测点	$^{206}\text{Pb}_c$ /%	U / $10^{-6}$	Th / $10^{-6}$	$^{232}\text{Th}/^{238}\text{U}$	$^{206}\text{Pb}^*$ / $10^{-6}$	$^{206}\text{Pb}/^{238}\text{U}$ 年龄/Ma	$^{207}\text{Pb}/^{235}\text{U}$ 年龄/Ma	不谐 和度 /%	$^{207}\text{Pb}^*/^{206}\text{Pb}^*$ 比值/ $\sigma\%$	$^{207}\text{Pb}^*/^{235}\text{U}$ 比值/ $\sigma\%$	$^{206}\text{Pb}^*/^{238}\text{U}$ 比值/ $\sigma\%$	误差相 关系数			
1.1	0.09	148	219	1.53	18.2	860±9	817±35	-5	0.08145	1.2	1.632	1.6	0.1453	1.1	0.670
2.1	0.03	301	199	0.68	36.0	840±7	815±21	-3	0.07249	0.91	1.401	1.3	0.1402	0.93	0.715
3.1	0.01	104	104	1.04	12.2	826±9	856±41	3	0.0675	1.8	1.275	2.1	0.1370	1.2	0.551
4.1	--	172	239	1.44	20.9	858±9	805±32	-6	0.07046	1.2	1.389	1.6	0.1429	1.1	0.665
5.1	--	116	107	0.95	14.0	851±9	845±53	-1	0.0724	1.5	1.420	1.9	0.1422	1.1	0.600
6.1	2.14	226	385	1.76	22.5	688±6	787±100	12	0.0505	4.1	0.772	4.2	0.1110	0.98	0.234
7.1	--	128	106	0.86	15.5	848±9	888±38	4	0.0747	1.4	1.462	1.8	0.1420	1.1	0.621
8.1	--	136	112	0.85	16.4	846±9	894±48	5	0.0701	1.4	1.361	1.8	0.1408	1.1	0.606
9.1	0.07	208	277	1.37	25.0	843±8	821±34	-3	0.07313	1.2	1.421	1.5	0.1409	1.0	0.662
10.1	0.07	179	172	0.99	21.4	838±8	802±33	-4	0.07059	1.2	1.357	1.6	0.1395	1.0	0.647
11.1	0.25	112	92	0.85	24.9	1472±16	1513±28	3	0.09203	1.1	3.252	1.5	0.2563	1.1	0.715
12.1	0.11	146	180	1.27	17.9	859±8	812±28	-6	0.07517	1.2	1.491	1.6	0.1439	1.0	0.663
13.1	0.19	142	114	0.83	16.7	828±8	765±42	-8	0.07532	1.2	1.440	1.6	0.1386	1.0	0.652
14.1	0.96	181	245	1.40	21.7	835±8	744±67	-12	0.07313	1.2	1.405	1.5	0.1394	1.0	0.654
15.1	--	93	78	0.87	11.0	831±10	889±36	6	0.0739	1.6	1.415	2.0	0.1389	1.3	0.619
16.1	--	113	118	1.08	13.6	844±9	854±32	1	0.0723	1.4	1.405	1.8	0.1409	1.1	0.612
17.1	0.22	282	294	1.08	33.4	833±9	803±29	-4	0.07604	0.86	1.463	1.4	0.1396	1.2	0.801
18.1	0.89	154	155	1.04	18.9	851±8	836±64	-2	0.06901	1.4	1.345	1.7	0.1414	1.0	0.600
19.1	--	171	141	0.85	20.2	828±8	816±30	-2	0.07314	1.1	1.394	1.5	0.1382	1.0	0.667
20.1	0.18	181	180	1.03	21.6	839±10	774±35	-8	0.07462	1.2	1.444	1.7	0.1403	1.2	0.733
21.1	--	299	300	1.04	35.4	833±7	833±21	0	0.07549	0.83	1.453	1.2	0.1396	0.92	0.743

注:  $\text{Pb}_c$ 代表正常部分;  $\text{Pb}^*$ 代表放射部分。

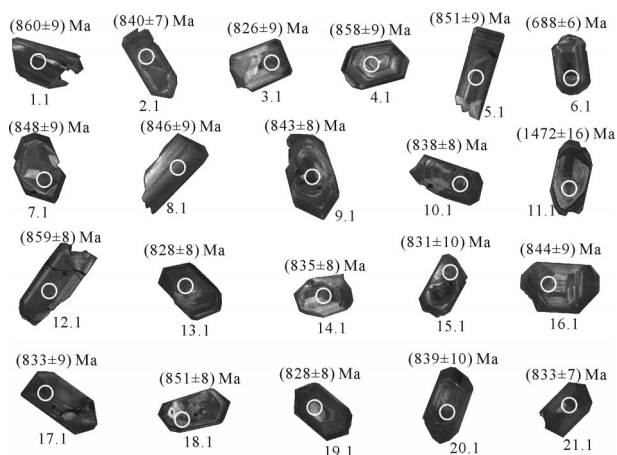


图3 翁家岭组凝灰岩样品的锆石 CL 图像

Fig.3 Cathodoluminescence images of zircons from tuff

(表2)。大量的研究表明,岩浆锆石的U、Th含量较高,Th/U比值较大(一般大于0.5,多数在1.0上下)。大部分锆石分析点均位于明显的岩浆环带部位。

锆石U-Pb年龄:21个数据点均位于谐和线上,1个数据点(6.1) $^{204}\text{Pb}$ 数值较高,可能是这颗锆石在制样过程被污染的原因,故导致这个数据的准确度降低,偏离主群,时代较年轻;1颗锆石(11.1)较老,应为继承锆石。其余19个数据点的 $^{206}\text{Pb}/^{238}\text{U}$ 年龄加权平均值为(841.2±5.1)Ma,对应的MSWD=1.6(图4),这一年龄应代表了翁家岭组的形成时代。

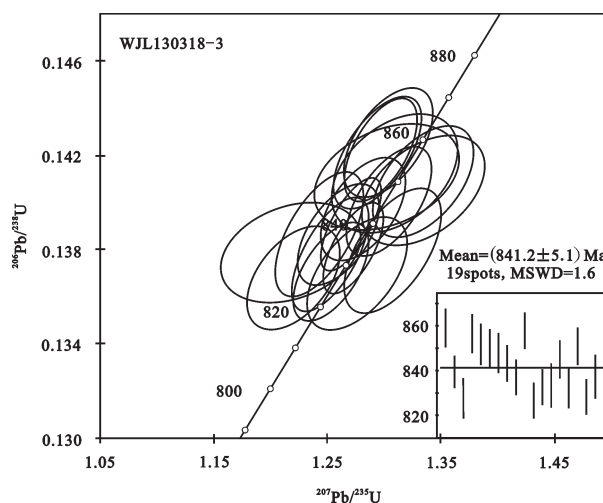


图4 翁家岭组凝灰岩锆石U-Pb年龄谐和图

Fig.4 Zircon U-Pb concordia diagrams of tuff from the Wengjialing Formation

## 6 讨论

江南造山带呈向北西弧形突出延伸近2000 km,构造复杂,地质体出露多为孤立的块体,进行这些地质体的对比,进而推演其演化过程一直是关注此区域地质学者研究的重点。近年来随着研究方法的进步,获得了大量的高精度年龄数据:(1)贵州梵净山群火山岩SHRIMP锆石U-Pb年龄为(840±11)Ma<sup>[28]</sup>,其沉积岩最小碎屑锆石峰值年龄为(872±

3) Ma<sup>[29]</sup>; 侵入梵净山群中的白云母花岗岩 LA-ICP-MS 锆石 U-Pb 年龄为 (838±1) Ma<sup>[30]</sup>, 其 SHRIMP 锆石 U-Pb 年龄则为 (835±5) Ma<sup>[31]</sup>; (2) 桂北地区侵入四堡群、被丹洲群覆盖的镁铁-超镁铁岩锆石 SHRIMP U-Pb 年龄为 (827±7) Ma; 侵入四堡群、被丹洲群覆盖的本洞和元宝山花岗岩体的年龄为 (819±9) Ma 和 (824±4) Ma<sup>[32]</sup>; 四堡群斑脱岩锆石 SHRIMP U-Pb 年龄为 (841±5) Ma<sup>[33]</sup> 和 (842±13) Ma<sup>[34]</sup>; (3) 湖南境内冷家溪群沉积岩碎屑锆石最小年龄峰值约为 866 Ma<sup>[35-36]</sup>; 冷家溪群斑脱岩中锆石的 SHRIMP U-Pb 加权平均年龄为 (822±10) Ma, 覆盖在其上面的板溪群张家湾组斑脱岩中锆石年龄为 (802±7) Ma<sup>[37]</sup>; 高角度不整合于冷家溪群之上、平行不整合伏于板溪群横路冲组的沧水铺群银珠坝组英安质火山碎屑岩中锆石的 SHRIMP U-Pb 年龄为 (814±12) Ma<sup>[38]</sup>、(821±13) Ma<sup>[39]</sup>; (4) 赣东北广丰地区上覆于翁家岭组之上的桃源组(上墅组)的地层时代为 820~830 Ma<sup>[22-23]</sup>; 广丰以北江南造山带广泛发育双桥山群, 其斑脱岩锆石 SHRIMP U-Pb 年龄为 (831±5) Ma(横涌组)、(829±5) Ma(安乐林组)、(824±5) Ma(修水组)<sup>[12-13]</sup>, 其变安山岩、变流纹岩及变凝灰岩 LA-ICP-MS 锆石 U-Pb 年龄分别为 (822±6) Ma, (821±4) Ma 和 (830±4) Ma<sup>[40]</sup>, 地层沉积时限为 815~850 Ma<sup>[12-13, 41-44]</sup>; (5) 浙江浦江地区“平水群”<sup>[45]</sup>陈塘坞组凝灰岩锆石 SHRIMP U-Pb 年龄为 (820±11) Ma、(830±6) Ma<sup>[46]</sup>, 江山市“章村组”<sup>①</sup>凝灰岩锆石 SHRIMP U-Pb 年龄为 (821±7) Ma、(832±8) Ma。

综合以上地层年龄数据, 可以得出(1): 翁家岭组在层位上与梵净山群、四堡群、冷家溪群、双桥山群相当; (2) 覆于翁家岭组之上的桃源组是与侵入到梵净山群、四堡群、冷家溪群、双桥山群的火山侵入岩以及浦江地区“平水群”、江山市“章村组”同时期的火山侵入或喷出的产物。

## 7 结 论

(1) 江南造山带东段赣东北广丰地区翁家岭组凝灰岩锆石 SHRIMP U-Pb 年龄加权平均值为 (841.2±5.1) Ma, 该套沉积岩属新元古代地层。

(2) 根据最新获得的大量高精度年龄数据, 确定

翁家岭组在层位上与梵净山群、四堡群、冷家溪群、双桥山群相当。

(3) 覆于翁家岭组之上的桃源组是与侵入到梵净山群、四堡群、冷家溪群、双桥山群的火山侵入岩以及浦江地区“平水群”、江山市“章村组”同时期的火山侵入或喷出产物。江南造山带自西向东在 830 Ma 期间曾广泛发育一期岩浆活动事件。

**致谢:** 国家科技基础条件平台北京离子探针中心的车晓超博士、杨淳高工和李宁工程师在装收样品、仪器调试、仪器监控和数据处理方面提供了帮助。中国地质大学(北京)王自强教授在成文过程中给予了有益的建议。两位审稿人对本文提出了富有建设性的意见。编辑对本文的修改校正付出了辛勤的工作。笔者在此一并表示感谢。

## 参考文献(References):

- [1] 李廷栋. 中国构造运动期序和构造发展阶段[J]. 中国区域地质, 1982, 1: 13-25.  
Li Tingdong. The sequence of the tectonic movements and the mega stages of tectonic development in China[J]. Regional Geology of China, 1982, 1: 13-25 (in Chinese with English abstract).
- [2] 李廷栋. 中国岩石圈构造单元[J]. 中国地质, 2006, 33(4): 700-710.  
Li Tingdong. Lithospheric tectonic units of China[J]. Geology in China, 2006, 33(4): 700-710 (in Chinese with English abstract).
- [3] 乔秀夫, 耿树方. 华南晚前寒武纪古板块构造[C]//中国及其邻区大地构造论文集. 北京: 地质出版社, 1981: 77-91.  
Qiao Xiufu, Geng Shufang. Precambrian ancient plate tectonics of South China[C]//Collected Papers about Tectonic of China and its Neighboring Area. Beijing: Geological Publishing House, 1981: 77-91 (in Chinese).
- [4] 水涛. 中国东南大陆基底构造格局[J]. 中国科学(B辑), 1987, 4: 414-422.  
Shui Tao. Tectonic framework of the southeastern China continental basement[J]. Science in China (Series B), 1987, 17(4): 414-422 (in Chinese).
- [5] 周新民, 朱云鹤. 江绍断裂带的岩浆混合作用及其两侧的前寒武纪地质[J]. 中国科学(B辑), 1992, (3): 296-303.  
Zhou Xinmin, Zhu Yunhe. The magma mingling and Precambrian geology on both sides of Jiangshao fault zone[J]. Science in China (Series B), 1992, 35(1): 296-303 (in Chinese).
- [6] Charvet J, Shu L S, Shi Y S, et al. The building of south China:

①浙江省地质调查院. 1:25万衢州市幅区域地质调查报告. 2012.

- collision of Yangtze and Cathaysia blocks, problems and tentative answers[J]. *J. SE Asian Earth Sci.*, 1996, 13(3/5): 223–235.
- [7] Charvet J. The Neoproterozoic–Early Paleozoic tectonic evolution of the South China Block: An overview[J]. *Journal of Asian Earth Sciences*, 2013, 74: 198–209.
- [8] 杨明桂, 梅勇文. 钦—杭古板块结合带与成矿带的主要特征[J]. *华南地质与矿产*, 1997, 3: 52–59.  
Yang Minggui, Mei Yongwen. Characteristics of geology and metallization in the Qinzhou–Hangzhou paleoplate juncture[J]. *Geology and Mineral Resources of South China*, 1997, 3: 52–59 (in Chinese with English abstract).
- [9] 杨明桂, 刘亚光, 黄志忠, 等. 江西中新元古代地层的划分及其与邻区对比[J]. *中国地质*, 2012, 39(1): 43–53.  
Yang Minggui, Liu Yaguang, Huang Zhizhong, et al. Subdivision of Meso–Neoproterozoic strata in Jiangxi and a correlation with the neighboring areas[J]. *Geology in China*, 2012, 39(1): 43–53(in Chinese with English abstract).
- [10] 王自强, 高林志, 丁孝忠, 等. “江南造山带”变质基底形成的构造环境及演化特征[J]. *地质论评*, 2012, 58(3): 401–413.  
Wang Ziqiang, Gao Linzhi, Ding Xiaozhong, et al. Tectonic environment of the metamorphosed basement in the Jiangnan Orogen and its evolutionary features[J]. *Geological Review*, 2012, 58(3): 401–413 (in Chinese with English abstract).
- [11] Wang X L, Zhao G C, Zhou J C, et al. Geochronology and Hf isotopes of zircon from volcanic rocks of the Shuangqiaoshan Group, South China: implications for the Neoproterozoic tectonic evolution of the eastern Jiangnan orogen[J]. *Gondwana Research*, 2008, 18(14): 355–367.
- [12] 高林志, 杨明桂, 丁孝忠, 等. 华南双桥山群和河上镇群凝灰岩中的锆石 SHRIMP U–Pb 年龄——对江南新元古代造山带演化的制约[J]. *地质通报*, 2008, 27(10): 1744–1751.  
Gao Linzhi, Yang Minggui, Ding Xiaozhong, et al. New SHRIMP U–Pb dating for the Shuangqiaoshan Group in South China[J]. *Geological Bulletin of China*, 2008, 27(10): 1744–1751 (in Chinese with English abstract).
- [13] 高林志, 黄志忠, 丁孝忠, 等. 赣西北新元古代修水组和马涧桥组 SHRIMP 锆石 U–Pb 年龄[J]. *地质通报*, 2012, 31(7): 26–33.  
Gao Linzhi, Huang Zhizhong, Ding Xiaozhong, et al. Zircon SHRIMP U–Pb dating of Xiushui and Majianqiao Formations in northwestern Jiangxi Province[J]. *Geological Bulletin of China*, 2012, 31(7): 1086–1093.
- [14] 高林志, 刘燕学, 丁孝忠, 等. 江山—绍兴断裂带铁沙街组流纹岩 SHRIMP 锆石 U–Pb 测年及其意义[J]. *地质通报*, 2013, 32(7): 996–1005.  
Gao Linzhi, Liu Yanxue, Ding Xiaozhong, et al. Geochronographic dating of the Tieshajie Formation in the Jiangshan–Shaoxing fault zone and its implications[J]. *Geological Bulletin of China*, 2013, 32(7): 996–1005 (in Chinese with English abstract).
- [15] Li Z X, Wartho J A, Occhipinti S, et al. Chaomin Baoc Early history of the eastern Sibao Orogen (South China) during the assembly of Rodinia: New mica  $^{40}\text{Ar}/^{39}\text{Ar}$  dating and SHRIMP U–Pb detrital zircon provenance constraints[J]. *Precambrian Research*, 2007, 159 (1/2) 79–94.
- [16] Li X H, Li W X, Li Z X, et al. 850–790 Ma bimodal volcanic and intrusive rocks in northern Zhejiang, South China: A major episode of continental rift magmatism during the breakup of Rodinia[J]. *Lithos*, 2008, 102(1/2): 341–357.
- [17] 江西省地质矿产局. 江西省区域地质志[M]. 北京: 地质出版社, 1984: 8–13.  
Jiangxi Bureau of Geology and Mineral Resources. Regional Geology of Jiangxi Province[M]. Beijing: Geological Publishing House, 1984, 8–13(in Chinese).
- [18] 管太阳, 余达淦. 江西广丰地区晚元古代早期地层剖面特征及其地层意义[J]. *华东地质学院学报*, 1993, 16(4): 384–394.  
Guan Taiyang, Yu Dagan. Characteristics and geological significance on the strata section of earlier Late Proterozoic era in Guangfeng area of Jiangxi[J]. *Journal of East China Geological Institute*, 1993, 16(4): 384–394(in Chinese with English abstract).
- [19] 胡世玲, 郝杰. 江西广丰“田里片岩” $^{40}\text{Ar}/^{39}\text{Ar}$  同位素年龄及有关问题的讨论[C]//李继亮主编. 东南大陆岩石圈结构与地质演化. 北京: 冶金工业出版社, 1993: 145–148.  
Hu Shiling, Hao Jie.  $^{40}\text{Ar}/^{39}\text{Ar}$  isotope age and the related issues of Tianli schist in Guangfeng, Jiangxi Province[C]// Li Jiliang (ed.). Continental Lithosphere Structure and Geological Evolution of Southeast China. Beijing: Metallurgy Industry Press, 1993: 145–148 (in Chinese).
- [20] 郝杰, 杨美芳. 东南地区磨拉石地层及其大地构造意义[C]//李继亮主编. 东南大陆岩石圈结构与地质演化. 北京: 冶金工业出版社, 1993: 55–58.  
Hao Jie, Yang Meifang. Molasse formation and its tectonic significance of Southeast China[C]//Li Jiliang (ed.). Continental Lithosphere Structure and Geological Evolution of Southeast China. Beijing: Metallurgy Industry Press, 1993: 55–58 (in Chinese).
- [21] 樊光明, 王家生, 薛重生, 等. 对江西广丰地区翁家岭组层位的新认识[J]. *地层学杂志*, 1999, 23(1): 64–70.  
Fan Guangming, Wang Jiasheng, Xue Chongsheng, et al. A New view on the Horizon of the Wengjialing Formation in Guangfeng area, Jiangxi[J]. *Journal of Stratigraphy*, 1999, 23(1): 64–70 (in Chinese with English abstract).
- [22] Li W X, Li X H, Li Z X. Middle Neoproterozoic syn–rifting

- volcanic rocks in Guangfeng, South China: Petrogenesis and tectonic significance[J]. *Geological Magazine*, 2008, 145: 475-489.
- [23] Wang J, Li Z X, Li X H. The Neoproterozoic rift successions and their angular unconformable contacts with the Mesoproterozoic Tianli schists (metamorphosed by the Sibao Orogeny) in Guangfeng, Jiangxi[C]//Li Z X, Wang J, Li X H, et al (eds.). *From Sibao Orogenesis to Nanhua Rifting: Late Precambrian Tectonic History of Eastern South China—An Overview and Field Guide*. Beijing: Geological Publishing House, 2003: 63-74.
- [24] Lance P B, Sandra L K, Charlotte M A, et al. TEMORA 1: A new zircon standard for Phanerozoic U-Pb geochronology[J]. *Chemical Geology*, 2003, 200: 155-170.
- [25] Lance P B, Sandra L K, Ian S Williams, et al. The Application of SHRIMP to Phanerozoic geochronology: a critical appraisal of four zircon standards[J]. *Chemical Geology*, 2003, 200: 171-188.
- [26] Ludwig K R. SQUID 1.02, a user's manual[J]. Berkeley Geochronology Center Special Publication No. 2. 2455 Ridge Road, Berkeley, CA 94709, USA. 2002.
- [27] Stacey J S, Kramers J D. Approximation of terrestrial lead isotope evolution by two-stage model[J]. *Earth Planet. Sci. Lett.*, 1975, 26: 207-221.
- [28] 张传恒, 高林志, 史晓颖, 等. 梵净山群火山岩锆石 SHRIMP 年龄及其年代地层学意义[J]. *地学前缘*, 2014, 21(2): 139-143.  
Zhang Chuanheng, Gao Linzhi, Shi Xiaoying, et al. SHRIMP age of the volcanic rock from the Fanjingshan Group and its chronostratigraphic significances[J]. *Earth Science Frontiers*, 2014, 21(2): 139-143 (in Chinese with English abstract).
- [29] Zhou J C, Wang X L, Qiu J S. Geochronology of Neoproterozoic mafic rocks and sandstones from northeastern Guizhou, South China: coeval arc magmatism and sedimentation[J]. *Precambrian Research*, 2009, 170: 27-42.
- [30] 王敏, 戴传固, 王雪华, 等. 贵州梵净山白云母花岗岩锆石年代、铪同位素及对华南地壳生长的制约[J]. *地学前缘*, 2011, 18(5): 213-223.  
Wang Min, Dai Chuangu, Wang Xuehua, et al. In-situ zircon geochronology and Hf isotope of muscovite-bearing leucogranites from Fanjingshan, Guizhou Province, and constraints on continental growth of the Southern China block[J]. *Earth Science Frontiers*, 2011, 18(5): 213-223 (in Chinese with English abstract).
- [31] 高林志, 戴传固, 丁孝忠, 等. 侵入梵净山群白岗岩锆石 U-Pb 年龄及白岗岩底砾岩对下江群沉积的制约[J]. *中国地质*, 2011, 38(6): 1111-1118.  
Gao Linzhi, Dai Chuangu, Ding Xiaozhong, et al. SHRIMP U-Pb dating of intrusive alaskite in the Fanjingshan Group and alaskite basal conglomerates: constraints on the deposition of the Xiajiang Group[J]. *Geology in China*, 2011, 38(6): 1111-1118 (in Chinese with English abstract).
- [32] Li X H. U-Pb zircon ages of granites from the southern margin of the Yangtze Block: timing of Neoproterozoic Jinning Orogeny in SE China and implications for Rodinia Assembly[J]. *Precambrian Research*, 1999, 97:43-58.
- [33] 高林志, 戴传固, 刘燕学, 等. 黔东南—桂北地区四堡群凝灰岩锆石 SHRIMP U-Pb 年龄及其地层学意义[J]. *地质通报*, 2010, 29(9): 1259-1267.  
Gao Linzhi, Dai Chuangu, Liu Yanxue, et al. Zircon SHRIMP U-Pb dating of tuff bed of the Sibao Group and implication for its stratigraphic significance[J]. *Geological Bulletin of China*, 2010, 29(9): 1259-1268 (in Chinese with English abstract).
- [34] 高林志, 陆济璞, 丁孝忠, 等. 桂北地区新元古代地层凝灰岩锆石 U-Pb 年龄及地质意义[J]. *中国地质*, 2013, 40(5): 1443-1452.  
Gao Linzhi, Lu Jipu, Ding Xiaozhong, et al. Zircon U-Pb dating of Neoproterozoic tuff in South Gaungxi and its implications for stratigraphic correlation[J]. *Geology in China*, 2013, 40(5): 1443-1452 (in Chinese with English abstract).
- [35] Wang X L, Zhou J C, Griffin W L, et al. Detrital zircon geochronology of Precambrian basement sequences in the Jiangnan orogen: dating the assembly of the Yangtze and Cathaysia blocks[J]. *Precambrian Research*, 2007, 159:117-131.
- [36] 孟庆秀, 张健, 耿建珍, 等. 湘中地区冷家溪群和板溪群锆石 U-Pb 年龄、Hf 同位素特征及对华南新元古代构造演化的意义[J]. *中国地质*, 2013, 40(1): 191-216.  
Meng Qingxiu, Zhang Jian, Geng Jianzhen, et al. Zircon U-Pb age and Hf isotope compositions of Lengjiaxi and Baxi Groups in middle Hunan Province: Implications for the Neoproterozoic tectonic evolution in South China[J]. *Geology in China*, 2013, 40(1): 191-216 (in Chinese with English abstract).
- [37] 高林志, 陈峻, 丁孝忠, 等. 冷家溪群及板溪群凝灰岩 SHRIMP 锆石 U-Pb 年龄——对武陵运动的制约[J]. *地质通报*, 2011, 30(9): 1001-1008.  
Gao Linzhi, Chen Jun, Ding Xiaozhong, et al. Zircon SHRIMP U-Pb dating of tuff bed of the Lengjiaxi and Banxi groups—constraints on the Wuling Movement[J]. *Geological Bulletin of China*, 2011, 29(7): 1001-1008 (in Chinese with English abstract).
- [38] 王剑, 李献华, Duan T Z, 等. 沧水铺火山岩锆石 SHRIMP U-Pb 年龄及“南华系”底界新证据[J]. *科学通报*, 2003, 48(16): 1726-1731.  
Wang Jian, Li Xianhua, Duan Taizhong, et al. Zircon SHRIMP U-Pb dating for the Cangshuipu volcanic rocks and its implications for the lower boundary age of the Nanhua strata in South

- China[J]. Chinese Science Bulletin, 2003, 48(16): 1726–1731(in Chinese).
- [39] 高林志, 刘燕学, 丁孝忠, 等. 江南古陆中段沧水铺群锆石 U-Pb 年龄和构造演化意义[J]. 中国地质, 2012, 39(1): 12–20.
- Gao Linzhi, Liu Yanxue, Ding Xiaozhong, et al. SHRIMP dating of Cangshuipu Group in the middle part of the Jiangnan Orogen and its implications for tectonic evolutions[J]. Geology in China, 2012, 39(1): 12–20 (in Chinese with English abstract).
- [40] 周效华, 张彦杰, 廖圣兵, 等. 皖赣相邻地区双桥山群火山岩的 LA-ICP-MS 锆石 U-Pb 年龄及其地质意义[J]. 高校地质学报, 2012, 18(4): 609–622.
- Zhou Xiaohua, Zhang Yanjie, Liao Shengbing, et al. LA-ICP-MS zircon U-Pb geochronology of volcanic rocks in the Shuangqiaoshan Group at Anhui-Jiangxi boundary region and its geological implication[J]. Geological Journal of China Universities, 2012, 18(4): 609–622 (in Chinese with English abstract).
- [41] 张彦杰, 廖圣兵, 周效华, 等. 皖赣相邻鄣公山地区变泥砂质岩石元素组成特征及源区分析[J]. 中国地质, 2012, 39(5): 1183–1198.
- Zhang Yanjie, Liao Shengbing, Zhou Xiaohua, et al. Element characteristics and provenance analysis of meta-argillo-arenaceous rocks in Zhanggongshan area Anhuijiangxi border region[J]. Geology in China, 2012, 39(5): 1183–1198 (in Chinese with English abstract).
- [42] Wang W, Zhou M F, Yan D P, et al. Detrital zircon record of Neoproterozoic active-margin sedimentation in the eastern Jiangnan Orogen, South China[J]. Precambrian Research, 2013, 235: 1–19.
- [43] Zhao J H, Zhou M F, Yan D P, et al. Reappraisal of the ages of Neoproterozoic strata in South China: no connection with the Grenvillian orogeny[J]. Geology, 2011, 39: 299–302.
- [44] Wang X L, Zhao G C, Zhou J C, et al. Geochronology and Hf isotopes of zircon from volcanic rocks of the Shuangqiaoshan Group, South China: Implications for the Neoproterozoic tectonic evolution of the eastern Jiangnan orogen[J]. Gondwana Research, 2008, 14: 355–367.
- [45] 颜铁增, 龚日祥, 汪庆华, 等. 中元古界蒙山组、陈塘坞组的建立[J]. 地层学杂志, 2009, 33(3): 249–259.
- Yan Tiezeng, Gong Rixiang, Wang Qinghua, et al. Establishment of the Mesoproterozoic Mengshan and Chentangwu formations[J]. Journal of Stratigraphy, 2009, 33(3): 249–259 (in Chinese with English abstract).
- [46] 高林志, 丁孝忠, 刘燕学, 等. 浙江浦江县蒙山地区陈塘坞组在地层柱中的位置——来自 SHRIMP 锆石 U-Pb 年龄的制约[J]. 地质通报, 2013, 32(7): 988–995.
- Gao Linzhi, Ding Xiaozhong, Liu Yanxue, et al. The revision of the Chentangwu Formation in Neoproterozoic stratigraphic column: Constraints on zircon U-Pb dating of tuff from the Mengshan section in Pujiang County, Zhejiang Province[J]. Geological Bulletin of China, 2013, 32(7): 988–995 (in Chinese with English abstract).